Zeitschrift: Bulletin de la Société Neuchâteloise des Sciences Naturelles

Herausgeber: Société Neuchâteloise des Sciences Naturelles

Band: 94 (1971)

Artikel: Quelques Strigeata (Trematoda) d'Oiseaux de Rhodésie et de Zambie

Autor: Dubois, Georges / Beverley-Burton, Mary

DOI: https://doi.org/10.5169/seals-89004

Nutzungsbedingungen

Die ETH-Bibliothek ist die Anbieterin der digitalisierten Zeitschriften auf E-Periodica. Sie besitzt keine Urheberrechte an den Zeitschriften und ist nicht verantwortlich für deren Inhalte. Die Rechte liegen in der Regel bei den Herausgebern beziehungsweise den externen Rechteinhabern. Das Veröffentlichen von Bildern in Print- und Online-Publikationen sowie auf Social Media-Kanälen oder Webseiten ist nur mit vorheriger Genehmigung der Rechteinhaber erlaubt. Mehr erfahren

Conditions d'utilisation

L'ETH Library est le fournisseur des revues numérisées. Elle ne détient aucun droit d'auteur sur les revues et n'est pas responsable de leur contenu. En règle générale, les droits sont détenus par les éditeurs ou les détenteurs de droits externes. La reproduction d'images dans des publications imprimées ou en ligne ainsi que sur des canaux de médias sociaux ou des sites web n'est autorisée qu'avec l'accord préalable des détenteurs des droits. En savoir plus

Terms of use

The ETH Library is the provider of the digitised journals. It does not own any copyrights to the journals and is not responsible for their content. The rights usually lie with the publishers or the external rights holders. Publishing images in print and online publications, as well as on social media channels or websites, is only permitted with the prior consent of the rights holders. Find out more

Download PDF: 22.11.2025

ETH-Bibliothek Zürich, E-Periodica, https://www.e-periodica.ch

QUELQUES STRIGEATA (TREMATODA) D'OISEAUX DE RHODÉSIE ET DE ZAMBIE

par

GEORGES DUBOIS et MARY BEVERLEY-BURTON 1

AVEC 10 FIGURES

Une collection de *Strigeata* d'Oiseaux a été constituée par l'un des auteurs (M. B.-B.) en Rhodésie et en Zambie, de 1959 à 1960. Une grande partie des matériels fut détruite par un incendie en mer. Le reste fait l'objet de la présente étude, avec 13 espèces, dont 6 sont nouvelles.

Familia STRIGEIDAE Railliet Strigea cuncumae Bisseru

Lg. 1,9-3,5 mm. SA cupuliforme ou hémisphéroïde (0,65-1,34/0,70-1,50 mm), à large ouverture; SP arqué, ovoïde ou cucumiforme (1,27-2,35/0,68-1,42 mm), à région bursale plus étroite (0,42-0,76 mm). Rapport SP/SA = 1,6-2,5. VB marginale ou saillante $(150\text{-}210/125\text{-}165\ \mu)$, suivie d'un PH sphérique, un peu plus petit mais plus musculeux $(135\text{-}175/115\text{-}165\ \mu)$; VV plus grande $(140\text{-}290/215\text{-}310\ \mu)$. GP multilobulée $(220\text{-}370/220\text{-}390\ \mu)$, à la base du SA.

OV réniforme (115-260/210-360 μ), situé aux 21-26/100 du SP; TT grossièrement lobés: TA (250-530/390-700 μ), TP (250-530/420-740 μ)². VG se terminant au niveau de l'anneau musculaire bursal. CG ellipsoïde, bien délimité, relativement grand (400-680/290-450 μ , jusqu'à 820 μ de long en exsertion dans l'atrium), traversé par un large DH (65-160 μ de diamètre mesuré en dehors de la cuticule qui a 16-25 μ d'épaisseur). DE s'ouvrant dans l'UT à l'entrée de ce cône. AG spacieux (profond de 260-480 μ). Œufs nombreux (90-105/52-66 μ).

Hôte: Circus ranivorus (Daud.).

Habitat: intestin grêle.

Distribution: Bangweulu Swamp, Zambia.

² Leur largeur peut atteindre 1000 μ (en vue dorso-ventrale).

¹ Department of Zoology, College of Biological Sciences, University of Guelph, Guelph, Ontario, Canada.

Collection: 285/2, 4, 7-9 (7 exempl., août 1960), 285/10 LS (coupes). Univ. Neuchâtel (G. D.) Nos U 44-49.

Ce parasite de Falconiformes avait été décrit d'après deux exemplaires jeunes provenant d'un Haliaeetus vocifer (Daud.) de Zambie, puis retrouvé sous sa forme adulte dans un Crocodylus niloticus Laur. de la même région et signalé alors sous le nom de Neostrigea leiperi par Bisseru (1956 b). L'examen des spécimens de cette collection nous permet de confirmer l'identité de S. cuncumae et de N. leiperi (cf. « Synopsis », p. 86).

L'espèce est caractérisée par la grosseur du cône génital que traverse un large canal hermaphrodite, et par une expansion latéro-dorsale des

vitellogènes juste en avant du canal de Laurer.

Strigea subglandulosa n. sp.

Lg. 1,04-1,34 mm. Corps fortement arqué par contraction: SA globoïde, souvent plus large que long (0,40-0,47/0,45-0,58 mm); SP arqué, trapu, réniforme (0,64-0,96/0,36-0,56 mm), à région bursale plus étroite (0,23-0,30 mm), séparé du précédent par une constriction bien marquée. Rapport SP/SA = 1,47-2,25. PH sphérique $(60\text{-}84/68\text{-}86\ \mu)$, plus petit mais plus musculeux que la VB marginale $(105\text{-}130/80\text{-}105\ \mu)$; VV postéquatoriale $(135\text{-}185/90\text{-}160\ \mu)$. GP très développée $(100\text{-}155/180\text{-}245\ \mu)$, plus grande que l'OV, située transversalement à la limite intersegmentaire.



Fig. 1. Strigea subglandulosa n. sp., de Circus ranivorus (Daud.). Holotype: longueur 1,3 mm.

OV réniforme (60-120/125-220 μ), situé aux 20-29/100 du SP; TT grossièrement lobés, le premier (100-200/210-330 μ), le second un peu plus grand (130-270/205-330 μ). VG accumulés ventro-latéralement dans le SP, surtout en avant de l'OV, et se terminant au-devant de l'anneau

musculaire bursal («Ringnapf»); très rares dans le SA, dans la base duquel ils pénètrent à peine, s'avançant quelque peu, sous forme d'une faible diffusion, dans la lèvre ventrale de l'OT, — quelques follicules

étant encore disséminés au-devant de la VV; RV et GM intertesticulaires. BC plus étroite que le SP dont elle occupe le dernier quart, à atrium spacieux (profond de 140-220 μ), à ouverture terminale; CG moyen (120-160/100-120 μ , en exsertion partielle 190/90 μ), assez faiblement délimité, à l'entrée duquel le DE s'ouvre dans l'UT. Œufs (85-94/52-63 μ), pouvant atteindre la vingtaine.

Hôte-type: Circus ranivorus (Daud.).

Habitat: intestin grêle.

Distribution: Bangweulu Swamp, Zambia. Collection: 285/1, 3-6 (19 exempl., août 1960).

Holotype: lg. 1,3 mm (No 285/3). British Museum (N. H.) No 1970.

11. 24. 1.

Paratypes: Univ. Neuchâtel (G. D.) Nos U 51-53.

Ce parasite de Falconiformes se distingue de l'espèce australienne, Strigea glandulosa Dubois, par sa taille plus petite, mais surtout par la rareté des follicules vitellogènes dans le segment antérieur et par sa distribution géographique. Il cohabitait avec Strigea cuncumae Biss.

Strigea triloborchis n. sp.

Lg. 4,2 mm. SA ellipsoïdal, utriforme (0.90/0.67 mm); SP cylindrique (3.30/0.43-0.57 mm), arqué dans sa première moitié, atténué en arrière et tronqué perpendiculairement à son extrémité. Rapport SP/SA = 3.6. Ventouses relativement petites : VB saillante $(140/110 \ \mu)$, VV légèrement postéquatoriale $(180/165 \ \mu)$; PH ellipsoïdal, à peine plus petit que la VB mais plus musculeux $(130/105 \ \mu)$, CA s'allongeant

jusqu'à l'AG. GP dorsale, postacétabulaire (230/120 '\mu).

OV réniforme $(210/370 \mu)$, situé aux 54-59/100 du SP. TT trilobés, à lobes dirigés en arrière, le premier $(300-370/300-520 \mu)$, le second plus long $(480-520/330-530 \mu)$. FG confinés à la base du SA, les plus avancés ne dépassant pas la VV; à forte densité dans le SP jusqu'au-devant de l'OV, puis réduits à un ruban ventral médian dans la zone testiculaire, au-delà de laquelle ils se condensent en deux amas latéro-subterminaux, qui ne pénètrent pas dans l'AG; RV intertesticulaire. BC moyenne, à atrium peu profond $(130-170 \mu)$, muni d'une musculature annulaire (« Ringnapf »), à large ouverture; CG robuste, assez bien délimité $(240/250 \mu)$. Œufs nombreux $(89-104/55-65 \mu)$.

Hôte: Oiseau inconnu (No « 2 »).

Habitat: intestin grêle.

Distribution: Kariba, Rhodesia. Collection: préparations Nos 61-62.

Holotype: lg. 4,2 mm (No 61). British Museum (N. H.) No 1970

11. 24.2.

Paratype: Univ. Neuchâtel (G. D.) No U 54.

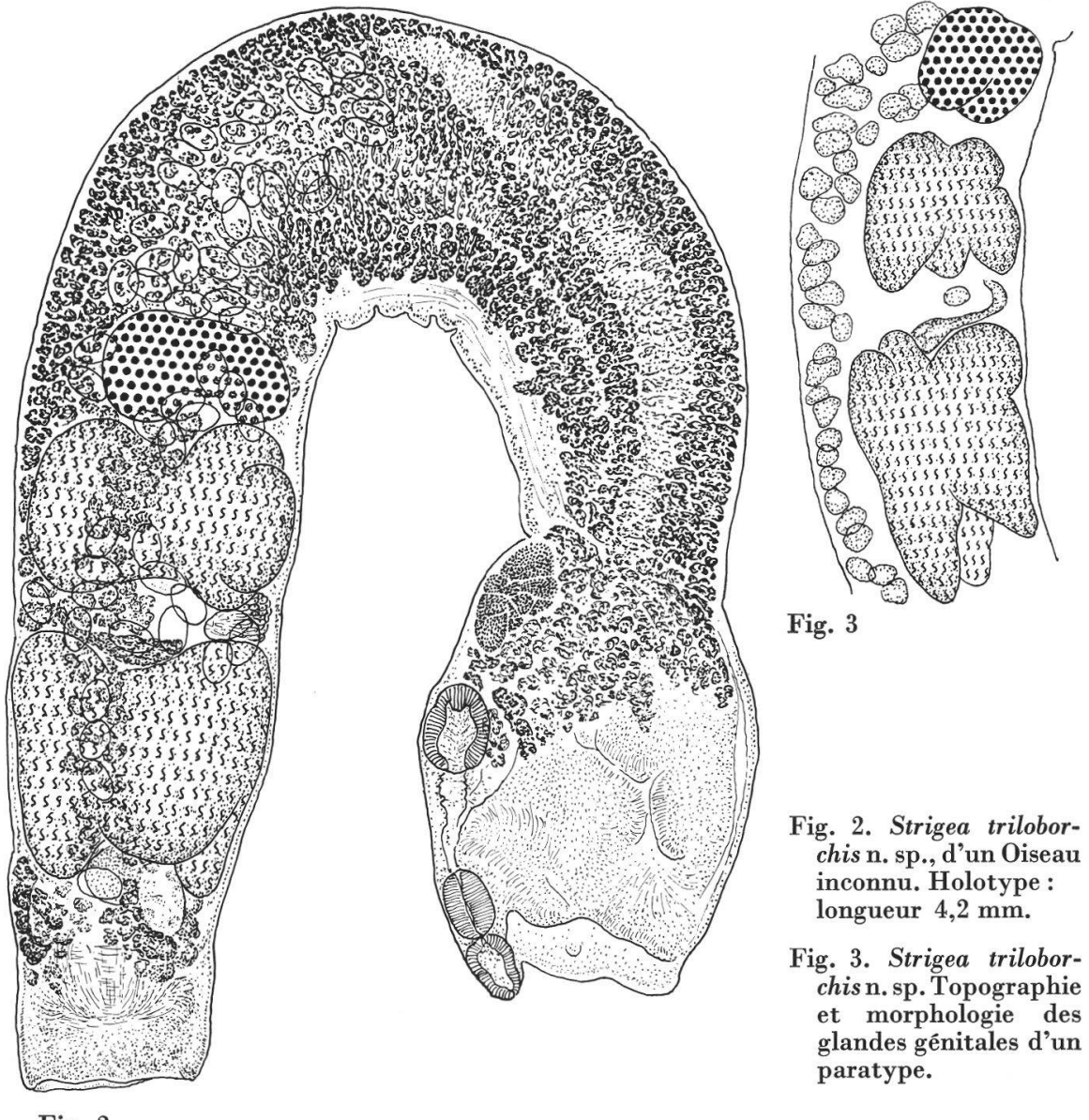


Fig. 2

Cette espèce est bien caractérisée par la trilobation postérieure des testicules (particularité non encore signalée dans le genre *Strigea*) et par le confinement des vitellogènes du segment antérieur à sa base.

Apharyngostrigea cylindrata n. sp.

Lg. jusqu'à 3,97 mm. SA largement cupuliforme, hémisphérique à subglobulaire (0,82-1,19/0,90-1,43 mm), à bord dorsal plus convexe que le bord ventral, nettement séparé par une constriction du SP cylindrique, toujours plus étroit (1,66-2,78/0,50-0,77 mm), recourbé dans sa première moitié, à largeur constante, sans délimitation de la BC, tronqué perpendiculairement à son axe et largement ouvert à l'extrémité postérieure. Rapport SP/SA = 2-2,3. VB submarginale (145-180/120-160 μ), VV

plus grande (180-245/220-275 μ), le plus souvent postéquatoriale. GP intersegmentaire, multilobulée, aussi grande ou plus grande que l'OV

 $(180-250/270-340 \mu)$.

OV réniforme (170-220/240-340 μ), situé aux 23-31/100 du SP. TT multilobés, contigus, formant une masse indivise, le premier (380-610/340-600 μ), le second un peu plus grand (420-650/390-600 μ). VG à densité égale dans les deux segments, envahissant les parois du SA aussi bien que les lèvres de l'OT et s'avançant jusqu'à l'extrême bord de l'ouverture céphalique; abondants en avant de l'OV, puis réduits à un ruban ventral qui se dilate en arrière des TT, remonte latéralement pour atteindre la face dorsale et se prolonge à la manière d'un manchon dans les parois de la BC, à peu près jusqu'à l'extrémité du corps; RV intertesticulaire. AG profond (200-380 μ), à large ouverture terminale. Œufs nombreux (90-99/52-60 μ). Les exemplaires d'environ 1,5 mm commencent à être ovigères.

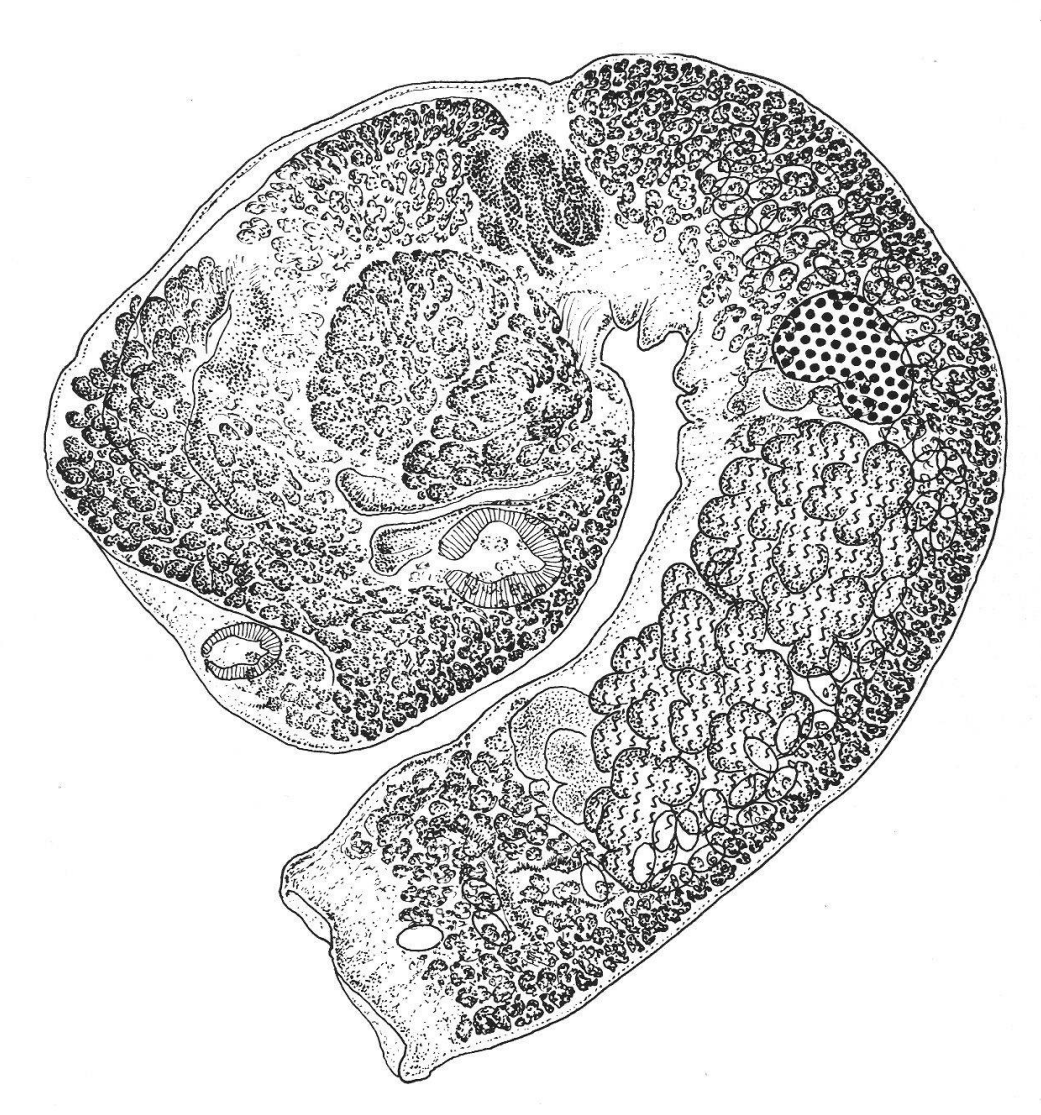


Fig. 4. Apharyngostrigea cylindrata n. sp., d'Ardea purpurea L. Holotype: longueur 3,27 mm.

Hôte-type: Ardea purpurea L.

Habitat: intestin grêle.

Distribution: Bangweulu Swamp, Zambia.

Collection: 6115/1-6 (nb. exempl.).

Holotype: lg. 3,27 mm (No 6115/6). British Museum (N. H.) No 1970. 11. 24. 3.

Paratypes: Univ. Neuchâtel (G. D.) Nos U 55-59.

La profusion des vitellogènes dans le segment antérieur et le galbe de ce dernier permettent de rapprocher cette espèce d'Apharyngostrigea garciai Tubangui, 1933, dont elle se distingue par la forme typiquement cylindrique du second segment et par le développement de la glande protéolytique qui est aussi grande ou plus grande que l'ovaire (chez garciai : GP 150-300/250-360 μ , OV 160-400/310-700 μ).

Apharyngostrigea ramai (Verma)

Lg. 2,2-3 mm. SA profondément cupuliforme (0,64-0,84/0,53-0,80 mm), à bord dorsal fortement convexe, à bord ventral souvent infléchi; SP cylindrique et arqué (1,45-2,35/0,34-0,56 mm), 2 à 3 fois plus long. Rapport SP/SA = 1,7-3,3. VB marginale $(140\text{-}200/100\text{-}155\ \mu)$; VV pré- ou postéquatoriale $(210\text{-}250/150\text{-}225\ \mu)$. GP normalement allongée, multilobée $(230\text{-}280/125\text{-}230\ \mu)$, intersegmentaire. Rapport

des longueurs GP/SA = 0.30-0.35 (moy. 0.33).

OV réniforme (130-160/200-290 μ), médian, situé aux 28-59/100 du SP suivant l'état d'extension ou de contraction de celui-ci. TT bilobés, à lobes lobulés, apparaissant multilobés en vue latérale, localisés le plus souvent dans la seconde moitié du segment : le premier contigu à l'OV (260-350/210-410 μ), le deuxième à peine plus long (260-430/220-370 μ). VG rares dans le SA, où ils s'avancent dans la base seulement du lobe ventral de l'OT, jusqu'au niveau du bord postérieur de la VV dans le lobe dorsal, avec une légère diffusion dans la paroi dorsale du corps, d'une ventouse à l'autre ; abondants dans SP, surtout en avant de l'OV, et atteignant l'extrémité postérieure du Ver ; RV et GM intertesticulaires. CG robuste (210-250/150-200 μ), bien délimité par sa musculature, couvert de squamules (3-5 μ) disposées en quinconce à son sommet, et traversé par un DH à cuticule épaisse (15-25 μ), qui se continue sur l'apex du cône et revêt, en s'amincissant, la cavité atriale. Œufs très nombreux (84-115/47-68 μ).

Hôtes: Egretta garzetta (L.), Ardea cinerea L. et, accidentellement, Anhinga rufa (Lacép. et Daud.) (5 exempl.).

Habitat: intestin grêle.

Distribution: Bangweulu Swamp, Zambia; Kariba, Rhodesia.

Collection: 243/1-4 (d'Egretta), 59-60 (d'Ardea) et 6130 (d'Anhinga). Univ. Neuchâtel (G. D.) Nos U 60-66.

Il s'agit bien de l'espèce dont Ukoli (1967) a trouvé deux spécimens au Ghana, dans le duodénum d'une Egretta garzetta, qu'il a nommée Apharyngostrigea (A.) serpentia en raison de l'élongation du Ver, et que nous avons considérée (G. D. 1968, pp. 32, 33) comme synonyme de A. ramai (Verma). Seule, la connaissance des cercaires pourra justifier ou infirmer cette identité.

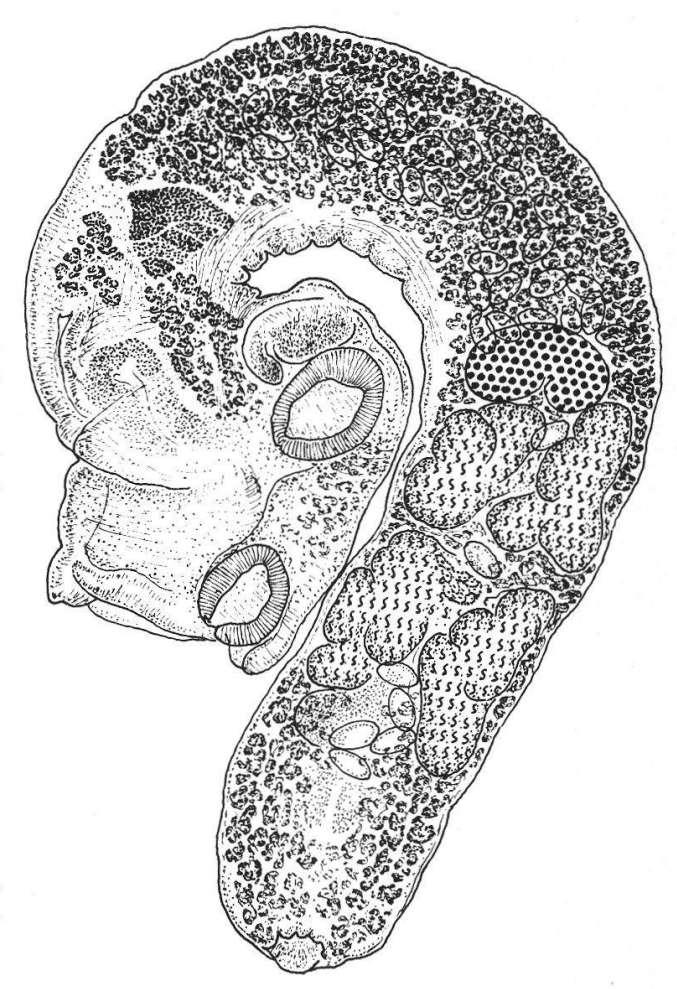


Fig. 5. Apharyngostrigea ramai (Verma), d'Egretta garzetta (L.). Longueur 3 mm.

Nematostrigea hepatica Dubois

Ce parasite de *Scopus umbretta* Gm., découvert par Sandground (1934) au Mozambique et redécrit comme espèce nouvelle par Dubois (1937), a été retrouvé dans le même hôte au Rwanda (Dubois et Fain

1956) puis en Rhodésie par l'un de nous (M. B.-B.).

Lg. jusqu'à 9,5 mm. VB 102-110/110-120 μ , PH ellipsoïdal, 100-110/65-70 μ , VV 190-200/160-190 μ , GP 265-270/140-160 μ (contractée 210-240/195-240 μ). OV ellipsoïdal, 117-145/150-180 μ . TT bilobés, excavés ventralement, à lobes très grossièrement lobulés: TA 285-350/300-360 μ , TP 340-410/330-380 μ . VS et DE sinueux (diamètre de ce dernier: 40-70 μ). CG 550-650/270-340 μ , ellipsoïdal, bien délimité, partiellement exsertile, contenu par la musculature annulaire (« Ringnapf ») puis par un sphincter atrial, au-delà duquel la BC s'évase (profondeur de l'atrium: 320-360 μ). Œufs très nombreux (90-102/56-66 μ).

Hôte: Scopus umbretta Gm.

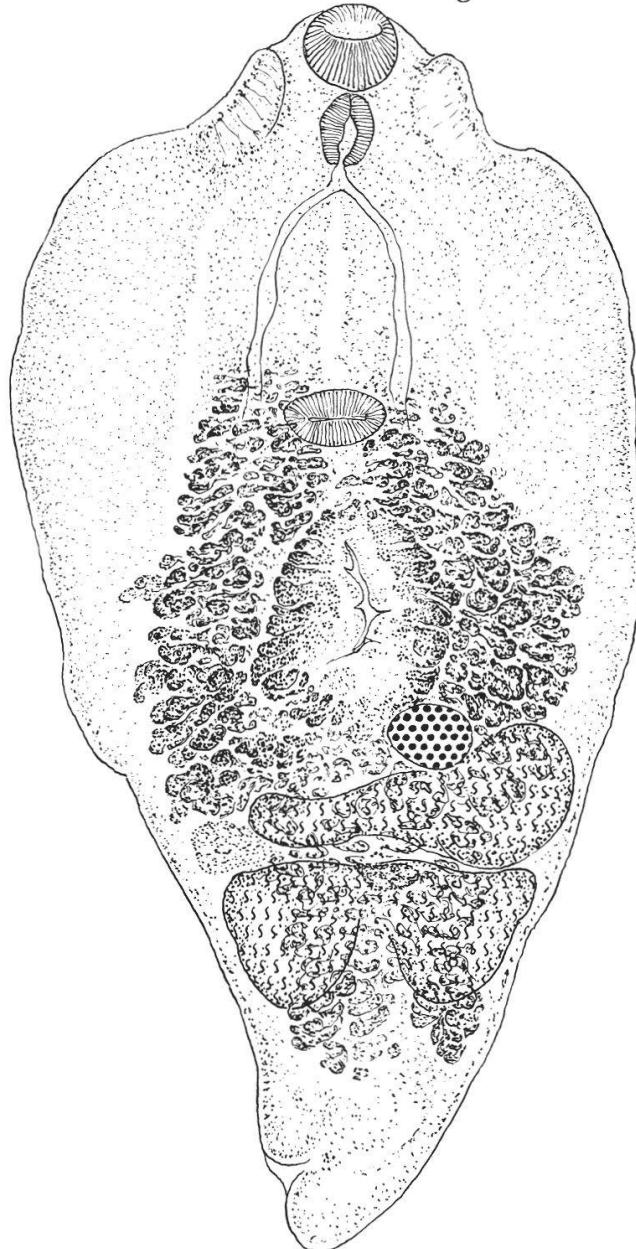
Habitat: intestin grêle.

Distribution: Salisbury, Rhodesia.

Collection: 240/6-7 (7 exempl., août 1960). Univ. Neuchâtel (G. D.) Nos U 67-68.

Familia DIPLOSTOMATIDAE Poirier Diplostomum (Dolichorchis) mashonense Beverley-Burton

Ce parasite d'Ardea cinerea L. (Mazoe, Rhodesia) a été attribué au sous-genre Tylodelphys Dies. en raison du galbe linguiforme du corps (absence de bisegmentation morphologique), corrélativement avec la présence d'un cône génital bien développé. Seul, le testicule antérieur ne répond pas au critère de la diagnose subgénérique, étant plus ou moins asymétrique et légèrement déplacé d'un côté ou de l'autre de la ligne médiane du corps. C'est pourquoi l'un de nous (G. D. 1970) avait transféré le Ver dans le sous-genre Dolichorchis.



L'examen de quelques paratypes contenus dans la collection présente (infestations naturelle et expérimentale, coupes faciales) confirme ce transfert, de même que l'habitat de la métacercaire non enkystée dans la cavité crânienne de Clarias mossambicus Peters et C. mellandi Boul. (liquide cérébro-spinal, entre la dure-mère et la piemère) ¹.

Les vitellogènes se terminent au niveau de la ventouse ventrale ou débordent légèrement cet organe; dans le segment postérieur, ils constituent deux amas latérosubterminaux au niveau de la vésicule séminale et audevant de la bourse copulatrice (qui mesure $210/130~\mu$ lorsque le cône génital est rétracté).

Fig. 6. Diplostomum (Dolichorchis) mashonense Bev.-Burt. (obtenu expérimentalement vingt-quatre heures après l'infestation d'un poussin). Longueur 0,83 mm, vue ventrale.

¹ Cf. Diplostomum (Dolichorchis) tregenna Nazmi Gohar, espèce-type du sous-genre. C'est plus probablement à ce dernier que devrait être attribué le « Tylodelphys darteri » R. K. Mehra, 1962, d'Anhinga melanogaster Penn., dont le testicule antérieur est aussi asymétrique.

Hôte-type: Ardea cinerea L.

Habitat : région antérieure de l'intestin.

Distribution: Mazoe, Rhodesia (localité-type); Bangweulu Swamp,

Zambia (métacercaire).

Paratypes: Univ. Neuchâtel (G. D.) Nos U 37-38. Spécimens obtenus expérimentalement: U 39-43.

Diplostomum (Dolichorchis) sp.

Nous signalons ici un Diplostome de l'intestin d'Anhinga rufa (Lacép. et Daud.), qui ressemble beaucoup au « Tylodelphys darteri » R. K. Mehra, d'Anhinga melanogaster Penn. (Inde). L'état médiocre du matériel ne

permet pas d'en donner une description précise.

Lg. jusqu'à 2,1 mm. SA plus ou moins spathacé (1,04-1,26/0,43-0,57 mm), avec PV bien développées, ovoïdes à réniformes $(115-130/63-75 \mu)$; SP conique, fortement arqué (0,56-0,96/0,34-0,50 mm) en diamètre dorso-ventral). Rapport SP/SA = 0,51-0,84. PH ellipsoïdal $(80-82/45-50 \mu)$, presque aussi long que la VB $(80-89/70-85 \mu)$; VV approximativement de mêmes dimensions que cette dernière $(60-85/78-100 \mu)$, située aux 50-62/100 du SA; PP et OE nuls. OT ovale en rétraction et plus ou moins arrondi en protrusion $(240-270/245 \mu)$.

OV ellipsoïdal (100-130/160-210 μ), situé dorsalement à la limite intersegmentaire. TT occupant la plus grande partie du SP (lg. TA 230-400 μ , TP 250-570 μ), le premier asymétrique, le second bilobé, à lobes grossièrement lobulés, allongés vers l'arrière; VS située dorso-postérieurement par rapport à ce dernier. VG s'avançant jusqu'à la VV et atteignant l'extrémité caudale du Ver; RV intertesticulaire. BC petite, à pore subterminal, abritant un CG (100-125/80-96 μ). Œufs (84-99/54-

68 μ), au nombre de 11 à 34.

Hôte: Anhinga rufa (Lacép. et Daud.).

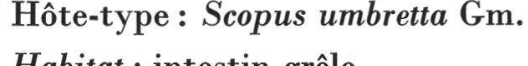
Distribution: Bangweulu Swamp, Zambia.

Collection: 6110/1-2 (13 exempl.). Univ. Neuchâtel (G. D.) Nos U 35-36.

Posthodiplostomoides opisthadenicus n. sp.

Lg. jusqu'à 1,8 mm. Corps bisegmenté, souvent cambré. SA oblong, foliiforme, légèrement ovale ou à bords latéraux parallèles (0,63-0,77/0,25-0,28 mm); SP cylindrique à claviforme, subégal ou plus long que le précédent dont il est délimité par une légère constriction (0,67-1,05/0,20-0,29 mm), à largeur maximum dans la zone testiculaire, à extrémité postérieure arrondie. Rapport SP/SA = 1-1,44. PH ellipsoïdal (37-42/30-37 μ), faiblement musculeux, plus petit que la VB (47-60/57-68 μ); VV plus grande que celle-ci (60-73/65-78 μ), située aux 2/3 du SA (61-70/100, moy. 67/100). OT arrondi (90-125/90-120 μ), s'ouvrant par une fente médiane et dont le bord frontal se trouve aux 75-81/100 du SA. GP indistincte.

OV ovoïde ou ellipsoïde (50-68/90-105 μ), médian, situé au 1/3 du SP (30-37/100, moy. 34/100), contigu au TA qui est subsymétrique (ses deux lobes mesurant respectivement 85-130 μ et 115-175 μ dans le sens antéro-postérieur), aussi développé transversalement (largeur 195-270 μ) que le TP bilobé, cordiforme (160-250/200-270 μ), à échancrure antérieure et dont le bord caudal se trouve aux 74-80/100 du segment. VG s'avançant jusqu'au niveau du bord antérieur de l'OT ou du bord postérieur de la VV, et se terminant à la hauteur de la BC (c'est-à-dire à 30 ou 40 μ de l'extrémité du corps); GM latérale et RV médian, intertesticulaires. BC relativement petite, dévaginable (70/130 μ , dévaginée), à pore terminal, et abritant un CG (diamètre 30-35 μ). Œufs rares (un seul exemplaire ovigère, contenant un œuf non mesurable, dilaté).



Habitat: intestin grêle.

Distribution : Mazoe (localité-type), Salisbury et Kariba, Rhodesia.

Collection: 221/1 (9 exempl.: matériel-type, avril 1959); 240/1-5 (nb. exempl., août 1960); préparation N° 63 (5 exempl.). Univ. Neuchâtel (G. D.) N° U 23-28.

Holotype: lg. 1,8 mm (exempl. No 5). British Museum (N. H.) No 1970. 11. 24. 4.

Cette espèce se distingue nettement du générotype (localisé en Sierra Leone) par la limite antérieure des vitellogènes entre le bord frontal de l'organe tribocytique et le bord postérieur de la ventouse ventrale, et par la situation de l'ovaire au 1/3 du segment postérieur. Le nom spécifique répond au caractère qui la différencie de *P. leonensis* (M. O. Williams): le retrait des glandes vitellogènes en arrière de l'acetabulum.

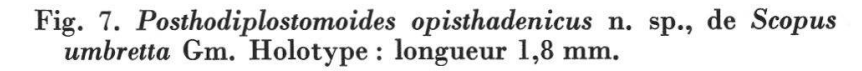


Fig. 8. Posthodiplostomoides opisthadenicus n. sp., de Scopus umbretta Gm. Schémas de la bourse copulatrice (vues latérales).





Fig. 7

Fig. 8

Cercocotyla rhodesiensis n. sp.

Lg. jusqu'à 1,9 mm. SA ovale, cochléariforme à spathacé (0,32-0,38/0,20-0,25 mm); SP cylindrique ou claviforme (long de 0,72-1,53 mm), dont le premier quart souvent plus étroit (0,12-0,18 mm) constitue un « collet », puis s'élargissant (0,22-0,34 mm) dans la zone testiculaire et pouvant se dilater (0,26-0,36 mm) dans la région bursale — l'extrémité postérieure étant alors tronquée obliquement. PH (diamètre 29-34 μ) presque aussi grand que la VB (32-39 μ) mais plus musculeux. Absence de VV. OT arrondi ou ovale (70-95/68-85 μ), situé dans le dernier tiers du SA et s'ouvrant par une fente en forme d'ancre. GP petite (52-65/40-55 μ), bilobée, triangulaire, en forme de V ouvert en avant, située tout au début du SP.

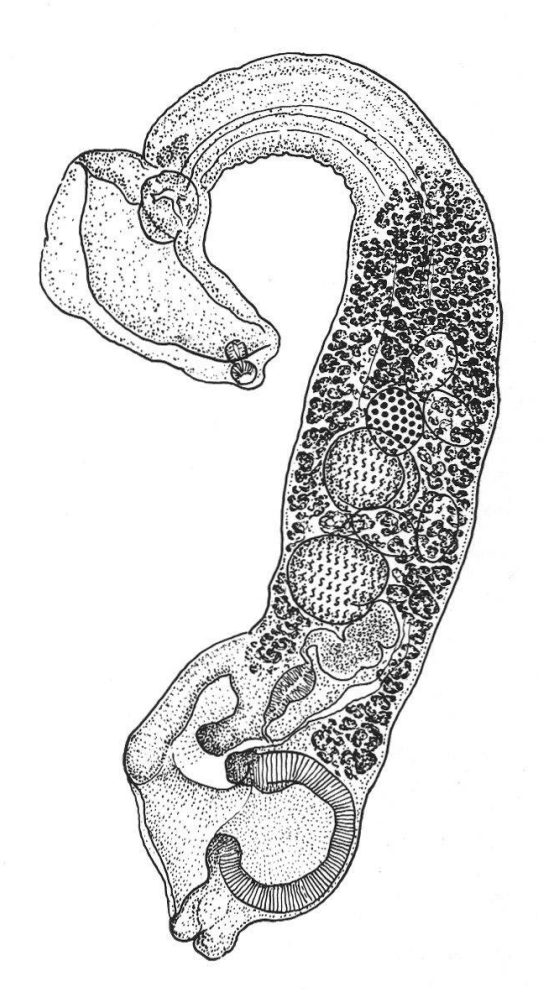
OV sphérique ou ovoïde (68-80/73-95 μ), situé à mi-longueur du SP, aux 43-55/100 (moy. 50/100). TT arrondis (vus latéralement): TA asymétriquement développé, plus ou moins ovoïde (95-130/110-160 μ), contigu à l'OV; TP bilobé, excavé ventralement, un peu plus grand (110-140/150-180 μ). VS sinueuse, suivie d'une petite PE 1 (75-95/37-50 μ). VG débutant entre le 1/10 et les 3/10 (10-37/100) du SP et s'étendant jusqu'au-devant de la BC; RV et GM intertesticulaires. BC grande, très dilatable, à large ouverture oblique, contenant une puissante ventouse atriale (dilatée: 165-195/150-160 μ) 2 ; PG où confluent les

conduits sexuels, s'ouvrant au voisinage du rebord antérieur de cette ventouse, parfois reporté sur une éminence papilliforme et musculeuse (diamètre 90-115 μ), ayant l'aspect d'un manchon ou d'un cratère, soutenue par ce rebord qui en est partie constitutive et pouvant saillir fortement dans l'atrium. Œufs (85-97/52-66 μ), au nombre de 1 à 10.

Fig. 9. Cercocotyla rhodesiensis n. sp., de Scopus umbretta Gm. Holotype: longueur 1,77 mm.

¹ Décrite comme « pars prostatica » par YAMAGUTI (1939) pour le générotype, Cercocotyla cerylis.

² Chez des individus jeunes (0,9-1 mm), non ovigères, à bourse copulatrice non dilatée, la ventouse atriale (contractée) ne mesure que 42μ à 55μ de diamètre (parasites de *Phyllastrephus terrestris*, T 10/1/1-6).



Hôtes: (!) Scopus umbretta Gm. (probablement accidentel), Ceryle rudis rudis (L.) et (!) Phyllastrephus terrestris Swains. (exempl. immatures).

Habitat: intestin grêle.

Distribution: Mazoe (localité-type) et Fort Tuli, Rhodesia.

Collection: 215/1-8 (nb. exempl., mars 1959); 215/5 LS (coupes sagittales); 238/2 (un exempl. parmi trois *Uvulifer*, chez *Ceryle rudis*, décembre 1959); T 10/1/1-6 (quelques exempl. jeunes).

Holotype: lg. 1,77 mm (No 215/3). British Museum (N. H.) No 1970.

11. 24. 5.

Paratypes: Univ. Neuchâtel (G. D.) Nos U 2-9.

Par ses dimensions, l'espèce nouvelle se rapproche de *Cercocotyla rudis* R. Gupta (Inde), mais s'en distingue par la distribution des vitellogènes qui débutent entre le 1/10 et les 3/10 du segment postérieur pour se terminer brusquement au-devant de la ventouse atriale.

Uvulifer cerylou Dollfus

Lg. 1-2 mm. SA ovale, cochléariforme (0,34-0,50/0,31-0,39 mm), à largeur maximum au niveau de l'OT; SP arqué, cucumiforme (074-1,50/0,28-0,39 mm), à largeur maximum dans la zone testiculaire, délimité du précédent par une constriction. Rapport SP/SA = 2-3. PH globulaire ou ellipsoïdal $(32\text{-}40~\mu$ de diamètre), deux fois plus petit que la VB $(65\text{-}75~\mu$ de diamètre); VV très faiblement développée $(28\text{-}34/38\text{-}42~\mu)$, située en arrière de la mi-longueur du SA; OE court $(45~\mu)$. OT circulaire $(115\text{-}120~\mu)$; GP petite, allongée, bilobée $(65\text{-}100/42\text{-}55~\mu)$.

OV globulaire ou ellipsoïdal (70-110/95-125 μ), médian, situé aux 32-43/100 du SP. TT massifs, subovoïdes, développés transversalement et légèrement asymétriques, le premier (90-170 et 160-210/200-270 μ), le second un peu plus gros et souvent plus développé du côté opposé (160-235 et 120-170/200-360 μ); VS volumineuse, suivie d'une PE ellipsoïdale (60-100/30-85 μ) située dorsalement. VG à gros follicules s'étendant dans toute la longueur du SP, surtout abondants en avant de l'OV. CG moyen (diamètre 65 μ), entouré d'un repli prépucial ventral (épais de 30 μ). Œufs (78-99/50-60 μ), au nombre de 1 à 23.

Hôte: Ceryle rudis rudis (L.).

Habitat: intestin grêle.

Distribution: Fort Tuli, Rhodesia.

Collection: préparations Nos 53 (coupes longitudinales), 54-58 (plusieurs exempl.). Univ. Neuchâtel (G. D.) Nos U 29-34.

Uvulifer pseudoprosocotyle n. sp.

Lg. jusqu'à 1,06 mm. SA ovale (0,31-0,42/0,17-0,23 mm), à l'extrémité de la face dorsale duquel s'insère le SP un peu plus long, longuement

ovoïde à claviforme, pouvant s'étrécir en un « collet » (large de 0,08-0,13 mm) dans le premier cinquième, à extrémité postérieure atténuée et finalement arrondie (tronquée obliquement en vue latérale), sans délimitation de la BC. Rapport SP/SA = 1,4-2. PH longuement ellipsoïdal ou piriforme, appointi en arrière (42-65/26-34 μ), dont l'axe longitudinal est plus court que celui de la VB cupuliforme, évasée, plus large que longue (55-73/80-105 μ), fortement musculeuse et occupant toute la largeur de l'extrémité céphalique ; VV fort peu développée (26-38/28-42 μ), située aux 2/3 (58-70/100) du SA, très proche de l'OT ou tangente à son bord frontal ; PP nul, OE court (28-47 μ), CA s'allongeant jusqu'audevant de la BC. OT circulaire ou ovale (57-78/60-94 μ).

OV ellipsoïdal (35-75/47-75 μ), situé en avant de la mi-longueur du SP, aux 42-48/100. TT ovoïdes, situés dans le seconde moitié du segment, le premier tangent à l'OV (70-80/90-110 μ), le second à peine plus grand (75-95/95-115 μ); VS suivie d'une petite PE dorsale (40-48/18 μ) 1.

VG débutant au 1/5 du SP, à 140-180 μ au-devant de l'OV et s'étendant jusqu'à l'extrémité postérieure du corps; RV intertesticulaire. BC petite, à pore terminal orienté un peu obliquement, abritant un CG (diamètre 42-45 μ) entouré d'un repli prépucial ventral. Œufs non observés.

Hôte-type: Ceryle rudis rudis (L.).

Hôtes probablement accidentels: Scopus umbretta Gm. et Phyllastrephus terrestris Swains.

Habitat: intestin grêle.

Distribution : Mazoe (localité-type) et Fort Tuli, Rhodesia.

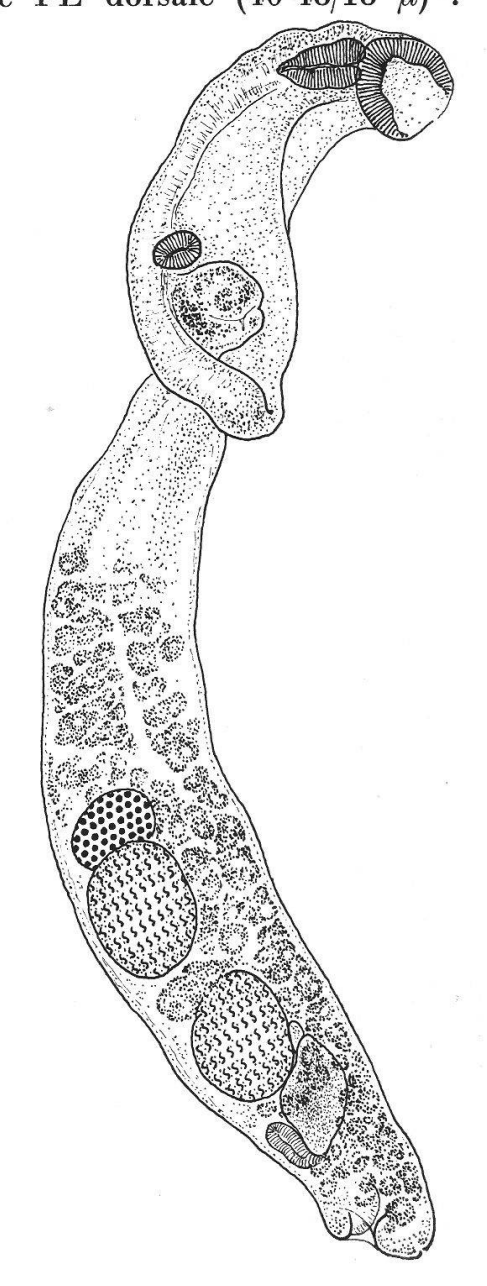
Collection: 215/4 et 9 (mars 1959), 221/2, 221/4 (coupes sagittales, avril 1959), de Scopus; 238/1-8, de Ceryle (matériel-type, décembre 1959); T10/1/2, 4 et 5 (quelques exempl., de Phyllastrephus).

Holotype: lg. 0,94 mm (No 238/8). British Museum (N. H.) No 1970. 11. 24. 6.

Paratypes: Univ. Neuchâtel (G. D.) N^{os} U 17-22.

Fig. 10. Uvulifer pseudoprosocotyle n. sp., de Ceryle rudis rudis (L.). Holotype: longueur 0,94 mm.

¹ Visible sur les préparations 238/1 et 238/8.



Cette espèce ressemble à *Uvulifer prosocotyle* (Lutz) [Brésil et Venezuela] dont elle se distingue par l'extension des vitellogènes, d'un niveau bien antérieur à celui de l'ovaire jusqu'à l'extrémité postérieure

du corps, et par la distribution géographique.

Les préparations Nos 80 et 81 (Univ. Neuchâtel (G. D.) Nos U 71-72) contiennent chacune une larve du type Neascus, hébergée par Tilapia macrochir Boulenger (Mazoe, Rhodesia), que nous attribuons à Uvulifer pseudoprosocotyle en raison de la présence d'une grande ventouse cupuliforme.

Familia PROHEMISTOMATIDAE (Dubois) Sudarikov Duboisia syriaca (Dubois)

Lg. jusqu'à 1,3 mm; largeur 0,66-0,78 mm. Corps ovoïde à piriforme, marsupiforme, abritant l'OT dans sa profonde cavité, spinescent dans sa première moitié, prolongé en arrière par un court manchon cylindrique et rétractile, délimitant un large pore génital. PH ellipsoïdal (75-85/53-60 μ), plus petit mais plus musculeux que la VB (100-110/110 μ) qui est deux fois plus grande que la VV (50/60 μ). OT très développé, massif, presque aussi large que le corps, recouvrant la VV et atteignant à peu près le bord postérieur du PH.

OV submédian (140-145/140-160 μ), situé aux 43/100 du corps. TT (400/180-210 μ) situés l'un à côté de l'autre dans la seconde moitié de ce dernier. Poche du cirre longue d'environ 700 μ . FG relativement gros, groupés en deux masses latérales, pénétrant dans l'OT et s'étendant du niveau de la VV jusqu'au début du manchon postérieur. Sphincter vaginal (60-75 μ de diamètre) pouvant se retirer jusqu'à 300 μ à

l'intérieur du corps par rétraction de ce manchon. Œufs (87-99/55-68 μ), au nombre d'une vingtaine dans chacun des deux exemplaires.

 ${\bf H\^ote:} \ An astomus \ lamelligerus \ {\bf Temm.}$

Habitat: intestin grêle.

Distribution: Bangweulu Swamp, Zambia.

Collection : 262/1-2 (2 exempl., août 1960). Univ. Neuchâtel (G. D.) Nos U 69-70.

 $^{^{1}}$ Celui du type mesure 110 μ de diamètre.

BIBLIOGRAPHIE

- Beverley-Burton, M. (1963). A new Strigeid, Diplostomum (Tylodel-phys) mashonense n. sp., (Trematoda: Diplostomatidae), from the Grey Heron, Ardea cinerea L. in Southern Rhodesia, with an experimental demonstration of part of the life cycle. Rev. Zool. Bot. Afr. 68 (3-4): 291-308, 5 fig.
- Bisseru, B. (1956a). On four new trematodes of the genus Strigea from Central African birds of prey. J. Helminth. 30 (1): 63-79, 11 fig.
- (1956b). On three new species of strigeid trematodes from an African crocodile and the erection of a new family, Neostrigeidae. *Ibid.* 30 (4): 217-232, 15 fig.
- Dollfus, R.-Ph. (1950). Trématodes récoltés au Congo belge par le professeur Paul Brien (mai-août 1937). Ann. Mus. Congo belge, Zool., Sér. V, 1 (1): 1-136, 104 fig.
- Dubois, G. (1937). Sur quelques Strigéidés. Rev. suisse Zool. 44 (25): 391-396.
- (1938). Monographie des Strigeida (Trematoda). Mém. Soc. neuchâtel. Sci. nat. VI: 1-535, 354 fig.
- (1968). Synopsis des Strigeidae et des Diplostomatidae (Trematoda). *Ibid.* X (1): 1-258, 270 fig.
- (1970). Ibid. *Ibid.* X (2): 259-727, fig. 271-750.
- Dubois, G. et Fain, A. (1956). Contribution à l'étude des Strigeida du Congo belge. Bull. Soc. neuchâtel. Sci nat. 79: 17-38, 16 fig.
- Gupta, R. (1963). On two new diplostome parasites of birds, with a note on *Hysteromorpha triloba* (Rud., 1819) Lutz, 1931 from India (Trematoda: Diplostomatidae). *Rev. Biol. Trop.* 11 (1): 75-87, 5 fig.
- Lutz, A. (1928). Estudios de Zoologia y Parasitologia Venezolanas. 133 pp., 26 pl., Rio de Janeiro.
- SANDGROUND, J. H. (1934). Nematostrigea serpens (nom. nov.) a redescription of Holostomum serpens Nitzsch 1819. Parasitology 26 (2): 278-281, pl. 11.
- Tubangui, M. A. (1933). Trematode parasites of Philippine Vertebrates, VI. Descriptions of new species and classification. *Philipp. J. Sci.* 52 (2): 167-197, 6 pl.
- Ukoli, F. M. A. (1967). On Apharyngostrigea (Apharyngostrigea) simplex (Johnston, 1904) new comb. and A. (Apharyngostrigea) serpentia n. sp. (Strigeidae: Trematoda) with an evaluation of the taxonomy of the genus Apharyngostrigea Ciurea, 1927 by the method of numerical taxonomy. J. Helminth. 41 (2/3): 235-256, 24 fig.
- YAMAGUTI, S. (1939). Studies on the helminth fauna of Japan. Part 25. Trematodes of birds, IV. *Japan. J. Zool.* 8 (2): 129-210, 65 fig.